

(110) 酸化鉄系フラックスによる溶銑脱珪処理

住友金属 鹿島製鉄所 丸川雄淨 山崎勲
城田良康 ○植木弘満

(I) 緒 言

溶銑脱リン処理を効果的に行なうためには、溶銑中の [Si] レベルを低下させておく必要があり、とくに、ソーダ灰を用いた溶銑脱リン-脱硫同時処理のためには、[Si] は極力低い方が好ましい。¹⁰

溶銑の脱珪反応については、酸素ガスあるいは酸化鉄等の供給により、脱珪反応が生じ、その反応構構についてはほぼ明らかであると言える。しかし、現状の製鋼プロセスへの適合を考えた場合、工業的規模での溶銑脱珪処理はまだ十分確立されていないと考えられる。

本報では、酸化鉄系フラックスによる溶銑脱珪処理について、実操業スケールでのテスト結果を報告する。

(II) 調查方法

今回用いた脱珪剤組成をTable 1に、また調査対象の脱珪処理プロセスをTable 2に示す。

Table 1. 脱硅剂組成 (Wt %)

	Fe ₂ O ₃	FeO	CaO	SiO ₂	Al ₂ O ₃	MnO	備 考
燒結鉱	74	5	10	6	2	0.3	粒徑<5mm
燒結鉱粉	59	1	20	7	2	0.3	粒度<100μ

Table 2. 脱珪処理プロセス

プロセス	反応器	脱珪剤
高炉 樹 脱 珪	出銑樋～トピード	焼結鉱
トピードインジェクション	トピード	焼結鉱粉
注銑鍋インジェクション	注銑鍋	焼結鉱粉
注銑鍋バブリング	注銑鍋	焼結鉱

四、調查結果

Fig. 1 各脱珪処理プロセスにおける脱珪反応効率(η_{Si})を示す。 η_{Si} は①式で定義する。

各プロセスにおける π_{Si} のばらつきは

- | | |
|---------------|------------------------------|
| ①注銑鍋インジェクション | $\eta_{S_i} = 90 \sim 100\%$ |
| ②トピードインジェクション | $\eta_{S_i} = 50 \sim 90$ |
| ③注銑鍋バプリング | $\eta_{S_i} = 40 \sim 70$ |
| ④高炉桶脱珪 | $\eta_{S_i} = 30 \sim 90$ |

となっており、インジェクション法が反応効率が高く、そのばらつきも小さくなっている。高炉撻法のばらつきは、初期 $[Si]$ レベルに強く依存し、 $[Si] \geq 0.40\%$ では、トピードインジェクションと同程度の γ_{Si} が得られている。

またインジェクション法を用いることにより、[Si]<0.10%まで容易に脱珪できることが確認され、さらに、同時反応としての、脱炭、脱マンガンおよび脱バナジウム反応を非常に少なくできることがわかった。

一方、反応効率の向上により、スラグ中の (T·Fe) を 5 % 以下にコントロールすることができ、その結果スラグフォーミングが非常に少なくできることが確認された。

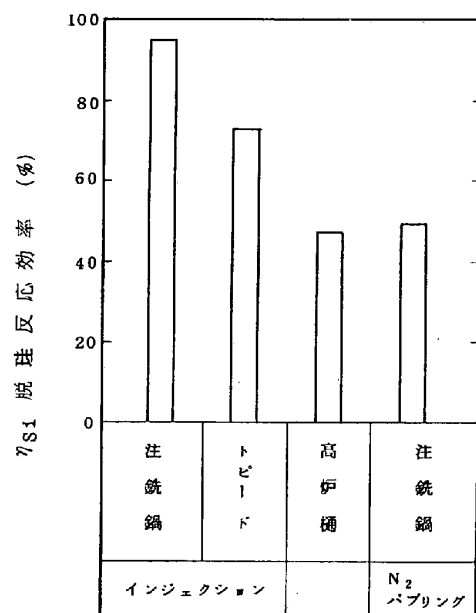


Fig. 1 处理プロセスと脱珪反応効率